

I-27 定常開水路網流れの解析法について

広島大学工学部 正員 常松 茂昭
広島大学大学院 学生員 ○荒川 駿治

1. まえがき

沖積河川の下流部等の低平地における緩勾配水路網の解析法に関して、これまでいくつせの研究がみられる。¹⁾しかし、これらは必ずしも実用的とはいいがたい。本研究では、複雑な開水路網系を集中型のネットワーク・システムとしてモデル化し、これにグラフ理論を応用することによって、基礎方程式系をベクトルと行列によて簡単かつ統一的に表現し、さらにこれに基づいて実用的な流量解析法を展開しようとしたものである。

2. 開水路網系の集中型モデル

開水路網系を水路形状が急変する部分(水路急変部)と水路動変部とに分け、それらを集中型の要素とし、これらを有限個の節点で連結することにより、集中型モデルとしての有向グラフが考えられる。もちろん、流れの方向は枝の向きに対応している。この際に、水路急変部のモデル化が重要な問題となるが、ここでは例えば図-1に示す三分岐水路に対しても図-2のようなグラフ・モデルを作成する立場をとることにする。すなはち、水路急変部の上下流断面に節点を対応させ、これらを実際のシステムにしたがって有向枝で連結する方法である。この場合、実際の系における水深および水路幅はグラフ上で節点定義量となり、また流量は枝定義量となることは明らかである。なお、以下においては簡単のため次の前提条件をおく。i) 流失損失は他の諸損失に比較して小さいものとして無視できる。ii) 開水路網流れの方向はこれに相似な有向グラフの枝の向きと一致している。iii) 各水路はすべて長方形断面である。

3. 基礎方程式系の行列表示

いま、システム・グラフは $(m+1)$ 個の節点と m 本の枝から成るネットワークとする。さらに、行列とベクトルを次のように定義しておく。 $A_{(m,e)}$: n 行 e 列の有向接続行列、
 $B_{(p,q,e)}$: 有向原始ループ行列、 $Q_{(e,e)}$, $Q_{(e)}$: 各枝の流量を示す対角行列、列ベクトル、
 $H_{(n,n)}$, $H_{(m)}$: 各節点の水深を示す対角行列、列ベクトル、 $\eta_{(e)}$: 各水路の損失水頭を示す列ベクトル、 $\Psi_{(m)}$: 各節点におけるエネルギー位を示す列ベクトル、 $Q_{(m)}$: 各節点に対するシステムへの境界流量を示す列ベクトルで流入を正とする、 $Z_{(m)}$: 各節点ごとの基準面からの水路床高さを示す列ベクトル、 $b_{(n,n)}$: 各節点ごとの水路幅を示す対角行列、 $l_{(e,e)}$: 各水路長を示す対角行列(水路急変部に対応する枝の成分は 1)、 $f_{(e,e)}$: 各水路の損失係数を示す対角行列、 A^* : A の転置行列、 \bar{Q} : ベクトル Q を対角行列化したものである。

さて、上述の記号を用いれば、開水路網流れの基礎方程式系は次のように表められる。

$$\text{流量保存則: } A \cdot Q = Q \quad (1)$$

$$\text{節点エネルギー位: } \Psi = H + Z + \frac{1}{2g} b^2 H^2 [|A_Q| \cdot Q] \cdot |A_Q| \cdot Q \quad (2)$$

$$\text{エネルギー方程式: } A^* \cdot \Psi - D = l \quad (3)$$

ここに、 $|A_Q|$: 各節点の流速を計算するための流量を与える n 行 e 列の絶対行列であり、行列 A から次のようにして作られるものである。すなはち、 A の各行について、合流節点に関する行については +1 のみを、また Q の作用しない中間節点(分流節点も含む)に関する行については -1 のみを残し、ソース・ノードおよびシンク・ノードに関する行については A と同様の成分をそのまま残し、さらに Q の作用する中間節点に関する行については、 Q が正のとき +1, Q が負のとき -1 を残してできる行列 A_Q の絶対行列である。また、 D : $(m+1)$ 潜目の節点(通常は水深既知のシンク・ノード)におけるエネルギー位をこれに隣接する枝の成分にのみ与え、他は 0 として

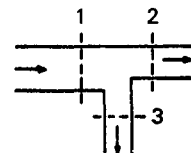


図-1 三分岐水路



図-2 グラフ・モデル

さる n 個の成分をもつ列ベクトルである。

ところで、エネルギー損失式としてどのような式を用いるかが問題であるが、ここでは取り扱いの便宜上、水路漸変部と水路急変部のいずれに亘っても速度水頭に比例する式形を用いることにした。この場合、各枝における損失水頭は、両端の節点における速度水頭の平均を用いれば、次のように表わされる。

$$\text{エネルギー損失式: } h = \frac{1}{2g} f \cdot l [IA_R^* (B^2 H^3 + 2B^3 H^2) + IA_d^* (B^2 H^2)] \cdot (A_{q1} \cdot q_1) + C \quad (4)$$

ここに、 IA_R^* , IA_d^* は A_R^* においてそれぞれ水路急変部の枝に関する行成分をすべて 0, 水路漸変部の枝に関する行成分をすべて 0 とした行列である。また C はシンク・ソードである $(n+1)$ 番目の節点に隣接する枝に関する成分にそのシンク・ソードにおける損失水頭の値を引き、その他の成分はすべて 0 とした列ベクトルである。

4. 流量計算法

一般に、ネットワークに関して次の関係が成立することが知られている。²⁾

$$B = [-A_C^* \cdot (A_R^*)^{-1}, II] \quad , \quad q_1 = B^* q_2 + [A_R^* \cdot Q] \quad (5)$$

ここに、 A_R^* : システムグラフを張る木に関する行列、 A_C^* : 補木に関する行列、 q_2 : 補木の流量を表す列ベクトル、II: 単位行列、 \emptyset : 零ベクトルである。

Q : 流量の仮定値、 H' : 水深の仮定値、 Δq および ΔH : 補正值、として、 $q_1 = Q + \Delta q$, $H = H' + \Delta H$ の関係を用い、補正值の自乗および相乗項を無視すれば、式(3), (5) および (6) より 1 次近似式として次式をえる。

$$X \cdot \Delta H = Y \cdot \Delta q + W \quad (6)$$

ここに、 $K_1 = IA_{q1} \cdot q_1$, $K_2 = \bar{K}_1 \cdot K_1$

$$W = -A^* H - A^* Z - \frac{1}{2g} A^* B^2 H^2 K_2 + D + \frac{1}{2g} f \cdot l [IA_R^* (B^2 H^3 + 2B^3 H^2) + IA_d^* (B^2 H^2)] \cdot K_2 + C$$

$$X = A^* - \frac{1}{2} A^* B^2 H^3 \cdot \bar{K}_2 + \frac{1}{2} f \cdot l [IA_R^* (3B^2 H^4 + 4B^3 H^3) + 2IA_d^* (B^2 H^3)] \cdot \bar{K}_2$$

$$Y = -\frac{1}{2} A^* B^2 H^2 \cdot \bar{K}_1 \cdot IA_{q1} + \frac{1}{2g} f \cdot l [IA_R^* (B^2 H^3 + 2B^3 H^2) + IA_d^* (B^2 H^2)] \cdot \bar{K}_1 \cdot IA_{q1}$$

である。式(6)は補正水深と補正流量の関係を与える式であり、さらに次のように変形できる。

$$\Delta H = [X^* \cdot X]^{-1} \cdot X^* Y \cdot \Delta q + [X^* \cdot X]^{-1} \cdot X^* W \quad (7)$$

一方、 $B \cdot h = 0$ の関係に式(4)を代入し、補正值に関する 2 次以上の項を無視すると、式(5)より $\Delta q_1 = B^* \cdot \Delta q_2$ の関係が成立するから、結局次式をえる。

$$\Delta q_2 = [T \cdot B^*]^{-1} \cdot P \quad (8)$$

ここに、

$$P = -B \frac{1}{2g} f \cdot l [IA_R^* (B^2 H^3 + 2B^3 H^2) + IA_d^* (B^2 H^2)] \cdot K_2 - [IA_R^* (3B^2 H^4 + 4B^3 H^3) + 2IA_d^* (B^2 H^3)] \cdot \bar{K}_2 \cdot [X^* \cdot X]^{-1} \cdot X^* W - BC$$

$$T = -B \frac{1}{2g} f \cdot l [IA_R^* (3B^2 H^4 + 4B^3 H^3) + 2IA_d^* (B^2 H^3)] \cdot \bar{K}_2 \cdot [X^* \cdot X]^{-1} \cdot X^* Y + B \frac{1}{2g} f \cdot l [IA_R^* (B^2 H^3 + 2B^3 H^2) + IA_d^* (B^2 H^2)] \cdot \bar{K}_1 \cdot IA_{q1}$$

である。したがって、式(7)および(8)より水深の逐次近似式として次式をえる。

$$\Delta H = [X^* \cdot X]^{-1} \cdot X^* Y \cdot B^* \Delta q_2 + [X^* \cdot X]^{-1} \cdot X^* W \quad (9)$$

式(6)および(9)を用いた開水路網の水理計算手順は図-3 のフロー・チャートのようである。

5. むすび

以上、緩慢な定期開水路網流れの解析法の一つを示した。本手法の有用性、妥当性等については多くの具体的な計算結果による検証はない。また、有向枝の向きと逆の流れが許容されるようなら一般的なグラフモデルに対する解析法の展開は今後の課題として残されている。

参考文献

1) 荒木正夫:複雑な開水路網の一解法, 土木学会論文集, 第 67 号, 昭和 35 年 3 月.

2) 岩松芳昭:管路水輸送システムのグラフ理論的解析, 土木学会論文報告集, 第 229 号, 昭和 49 年 9 月

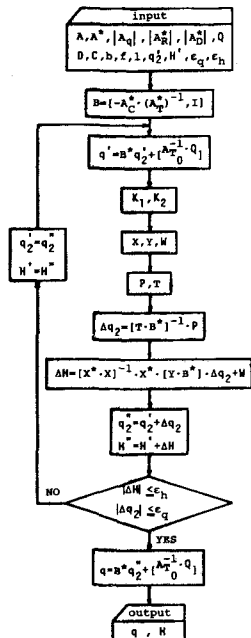


図-3 フロー・チャート